

Università degli studi di Bergamo

Scuola di Ingegneria (Dolmine)

CCS Ingegneria Edile

LM-24 Ingegneria delle Costruzioni Edili

Complementi di Scienza delle Costruzioni

(ICAR/08 - SdC ; 6 CFU)

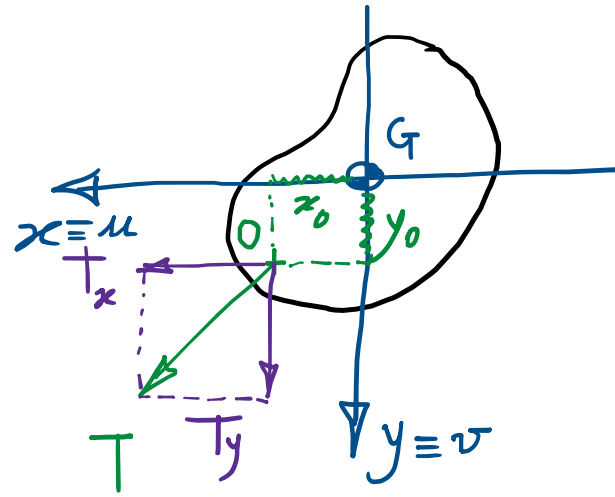
A.A. 2020/2021

prof. Egidio RIZZI

egidio.rizzi@unibg.it

LEZIONE 24

Taglio e Centro di Taglio



CT_a

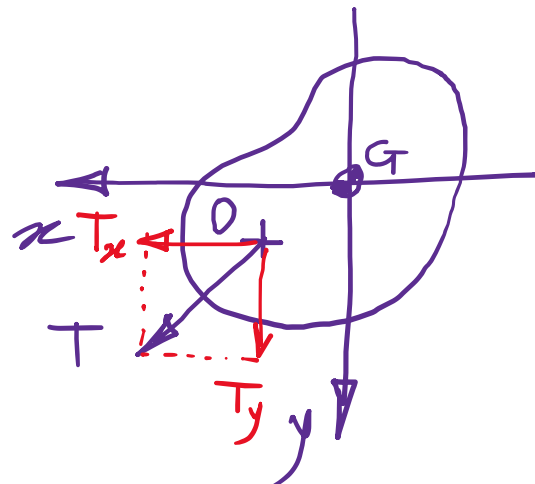
Centro di taglio: p.to di applicazione della forza tagliente T tale per cui si registra un'inflessione del prisma di dSV (flessione associata al taglio) senza rotazione delle sezione nel suo piano (disaccoppiamento taglio/torsione)

- Quindi, se $O = CT_a$, la sollecitazione risulta di puro taglio (flessione composta), senza effetti torcenti (cioè senza "torsione", rotazione delle sezione).

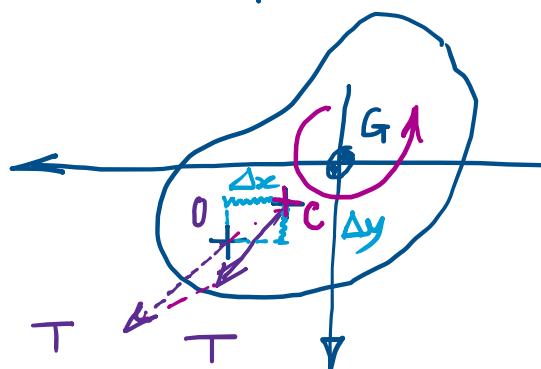
- Infatti, vi è in generale presente un accoppiamento taglio/torsione, in base al punto di applicazione dell'azione tagliente T , in quanto, trasponendo la forza T nel piano, restando parallele e se stesse, si genera un momento torcente di trasporto, tale da indurre effetti torcenti.
- Il CT_a, pertanto, è quel punto di applicazione dell'azione tagliente T che non induce effetti torcenti sul prisma di dSV (no rotazione delle sezione).

- Rotazione ("torsione") nulla : in senso "energetico", via PLV, quando sforzi taglienti e deformazioni torcenti (e viceversa), risultano energeticamente ortogonalili, cioè tali da produrre lavoro interno mutuo nullo.

- Sistema A (static. ammissibile)



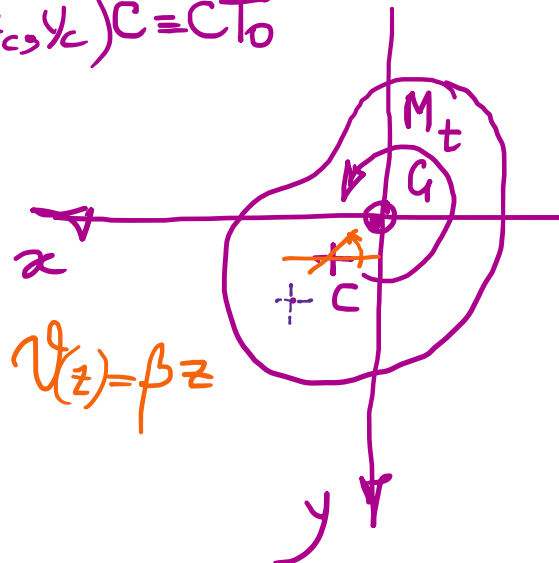
static. equiv. a:



Momento torcente di trasporto

$$T_y \underbrace{(x_0 - x_c)}_{\Delta x} - T_x \underbrace{(y_0 - y_c)}_{\Delta y}$$

$$(x_c, y_c) C = CT_0$$



- Sistema B (cinematic. ammissibile)

$$\begin{cases} \gamma_x = -\beta z (y - y_c) \\ \gamma_y = \beta z (x - x_c) \\ \gamma_z = \beta \psi_c (x_c, y) \\ \gamma_z = \begin{cases} \gamma_{zx} & T_0 \\ \gamma_{zy} & T_0 \end{cases} \end{cases}$$

deformazioni taglienti

$$\gamma_z = \frac{T_0}{I_z} G$$

legame elast. lin. isotropo

(G : modulo di elast. tangenziale)

$$\begin{cases} T_x \\ I_z = \left\{ \begin{array}{l} T_{zx} \\ T_{zy} \end{array} \right. \end{cases}$$

sforzi taglienti

PLV:

$$\frac{d\sigma_e^{AB}}{dz} = T_x^A \cancel{\gamma_z^B} + T_y^A \cancel{\gamma_z^B} + \underbrace{[T_y(x_0 - x_c) - T_x(y_0 - y_c)]}_{=0 \text{ } \forall T_x, T_y} \cdot \beta^B = \int_A T_x^A \cdot \gamma_z^B dA = \frac{d\sigma_i^{AB}}{dz} = 0$$

\Downarrow

$$\begin{cases} x_0 = x_c \\ y_0 = y_c \end{cases} \Rightarrow CT_a \equiv CT_o \equiv C$$

energeticamente ortogonali

Inoltre, invertendo A e B $\Rightarrow A \equiv$ Torsione; $B \equiv$ Taglio

$$\frac{d\sigma_e}{dz} = M_t \cdot \beta^T_a = \int_A T_z^T \cdot \gamma_z^T dA = \frac{d\sigma_i}{dz}$$

$$\beta^T_a = 0$$

rotazione delle

sezioni dovuta al taglio:

nulle se T_z è applicata in $C \equiv CT_a \equiv CT_o$

$$\int_A T_z^T \cdot \frac{T_z^T}{G} dA = \int_A \frac{T_z^T}{G} \cdot T_z^T dA = \int_A T_z^T \cdot T_z^T dA = 0$$

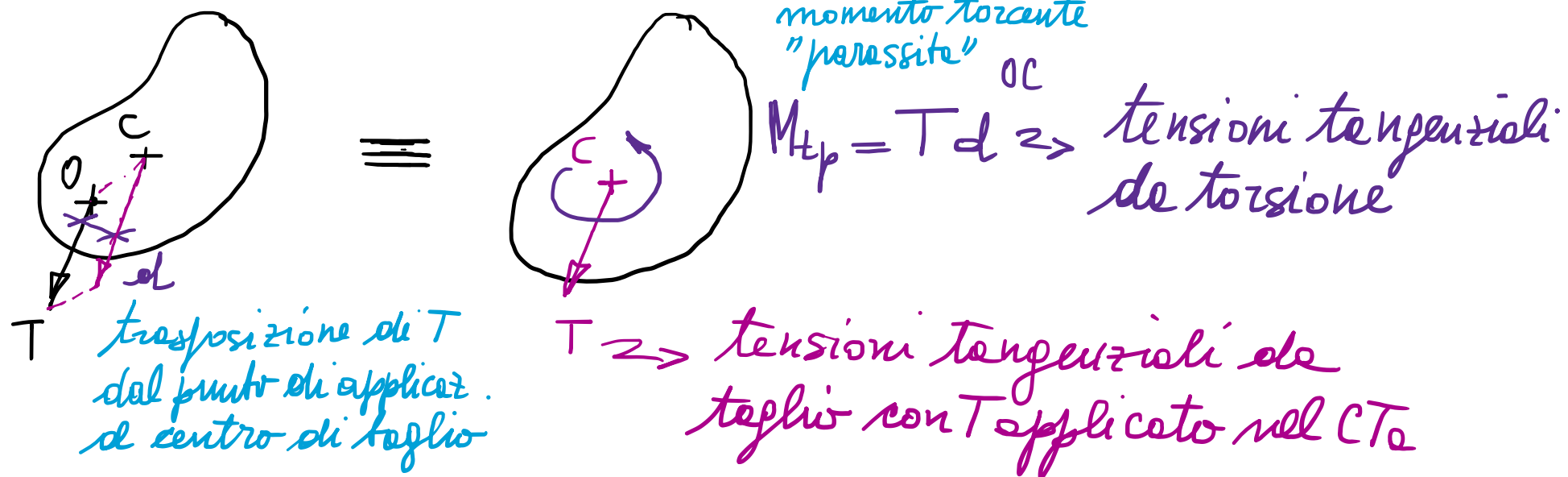
- Determinazione di C

- Note le soluz. del pb. del teglio (in generale di difficile determinazione in forme analitiche), il CTa può essere determinato dalla seguente condizione di equivalenza statica:

$$\int_A \left(\tau_{zy}^{T_x} x - \tau_{zx}^{T_y} y \right) dt = T_y x_c - T_x y_c \Rightarrow \begin{cases} x_c & (T_x=0, T_y=1) \\ y_c & (T_x=1, T_y=0) \end{cases}$$

- Soluzioni eventualmente approssimate del ps. del taglio e delle torsione che prevedono τ_2 e χ_2 energeticamente ortogonali consentiranno di determinare $C_T \equiv C_{\bar{T}_0} \equiv C$ in forme approssimate (C prossimo al C reale, tanto quanto le soluz. approssimate risultano vicine a quelle reali).

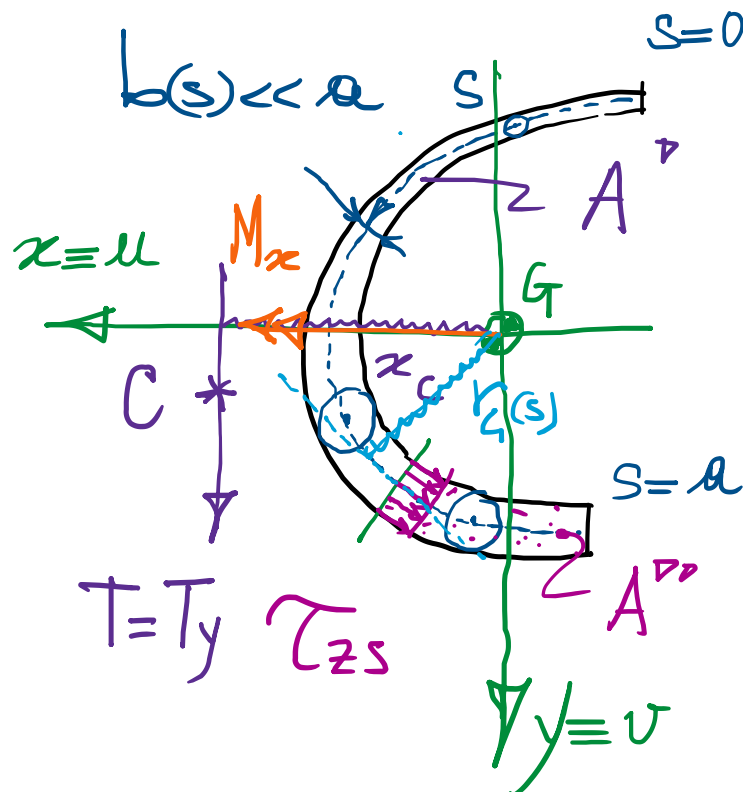
- N.B.: se T è applicato in $O \neq C$, la trasposizione di T da O a C induce un momento torcente "parassite", da tenere in debito conto per la valutazione dello stato tensione-deformativo (con effetti che possono risultare rilevanti, per es. nel caso di profili sottili aperti, dotati di scorsa esplicita portante e torsione).



- Se \exists esse di simmetria, $C \equiv CT_a \equiv CT_0$ E' tale esse

- Per sezione propriamente simmetrica, $C \equiv G$ (p. to di intersez. dei due assi di simm.)

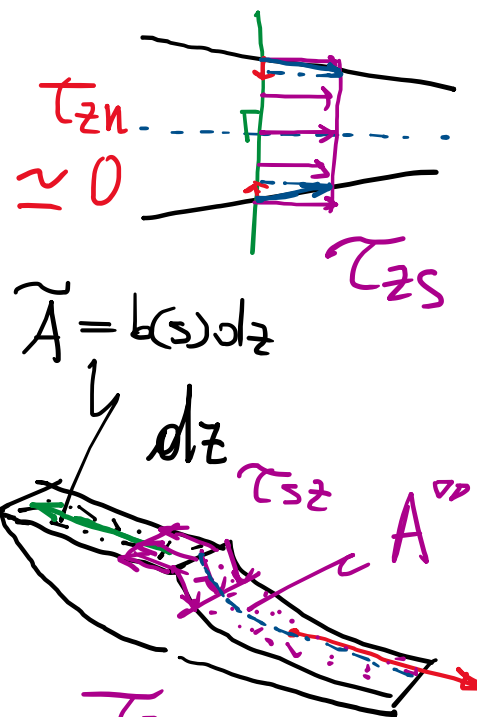
- Taglio nei profili sottili (aperti) [soluzione approssimata di D. J. Tjorrowsky] ~ 1856



$dM_x = T_y dz$
flessione legata
al taglio

$\sigma_{zz} = \frac{T_y}{J_x} z y$
formule di Navier
per le flessioni

- Corsa di taglio \perp alle linee medie del profilo sottile $\Rightarrow \bar{\tau}_{zs} = \bar{\tau}_{z_s} = \text{cost. sullo spessore}$



equil. alle
flessioni nelle
direzione z

τ_{zn} (antisimm. e lineari lungo lo spessore) trascurabili a fini ingegneristici

$$dR = \int_{A''} d\tau_{zz} dA = \int_{A''} \frac{T_y dz}{J_x} y dA$$

$$\int_{A''} \frac{T_{sz}}{b(s)} dz = dR$$

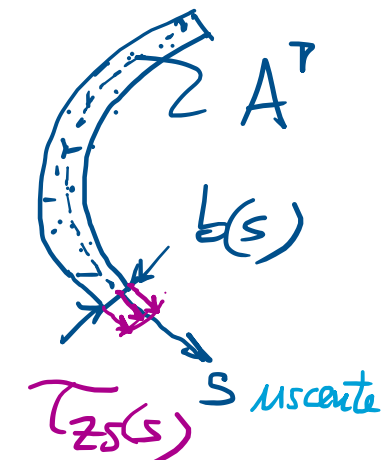
$$\frac{\text{valo. medio}}{A''} \bar{\tau}_{zs} b(s) = \frac{T_y}{J_x} \int_{A''} y dA$$

- Formule di Joukowski: $GEx: S_x = S_x'' + S_x''' = 0 \Rightarrow S_x'' = -S_x'''$

valori medi sulla corda

$$\overline{G_{zs}(s)} = \overline{T_{zs}} = \frac{\overline{T_y} S_x''(s)}{\overline{J_x} b(s)} = -\frac{\overline{T_y} S_x''(s)}{\overline{J_x} b(s)}$$

Approx.



- N.B.: le $T_{zs}(s)$ alle J . non dipendono dal punto di applicazione di $T = T_y$; esse possono forse riferire alle $T = T_y$ applicate nel Centro di Taglio. Esso risulta così determinabile dalle condizioni di equivalenza statica (rispetto a G , o a punto comodo):

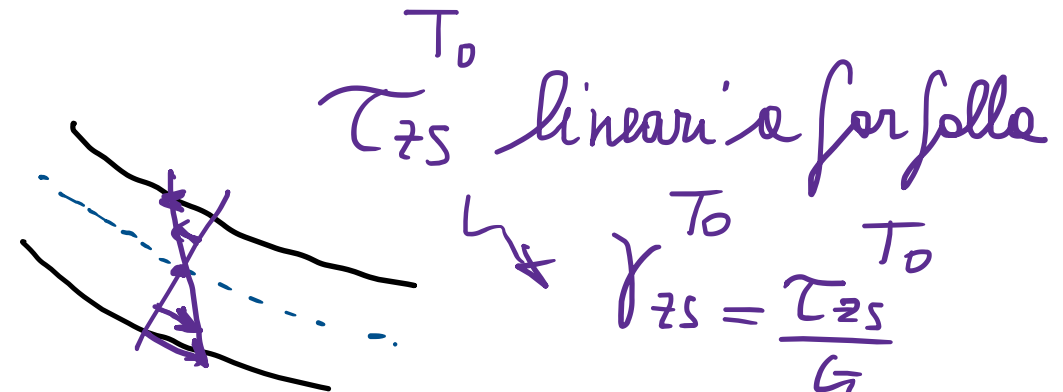
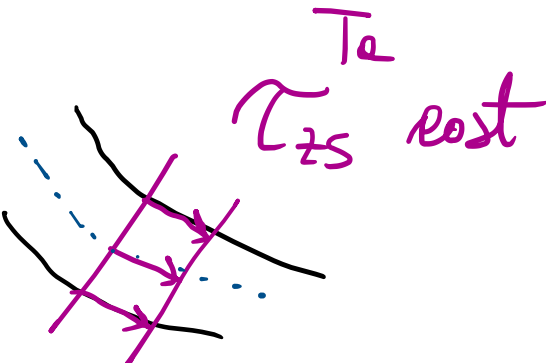
$$\int_0^a \underbrace{T_{zs}(s) b(s) ds}_{\substack{\text{forze} \\ \text{braccio}}} = \overline{T_y} x_c$$

$(T_y = 1) \quad CT_a$

$$\begin{cases} x_c = \frac{1}{\overline{J_x}} \int_0^a S_x''(s) r_g(s) ds \\ y_c = -\frac{1}{\overline{J_y}} \int_0^a S_y''(s) r_g(s) ds \end{cases}$$

frofr. geom. del profilo

- Infatti τ_{zs}^{Te} alle Jourkowsky, costanti sullo spessore, risultano energeticamente ortogonali e $\gamma_{zs}(s) = \frac{\tau_{zs}^{Te}}{G}$ lineari e ferfolle sullo spessore:



$$\frac{df_i}{dz} = \int_0^a \int_{-b/2}^{b/2} \tau_{zs}^{Te} \gamma_{zs}^{To} dn ds \equiv 0$$

$\underbrace{\frac{\tau_{zs}^{To}}{G}}$